

# K<sub>ATP</sub> 通道 E23K 突变对阿霉素诱导的细胞凋亡的影响

刘剑芳 王梦龙 叶晶 徐瑶 王震 姜慧敏 叶迪 赵生娣 万军

**摘要 目的** 研究 ATP 敏感性钾通道 Kir6.2 亚基 E23K 突变对阿霉素诱导的心肌细胞凋亡的影响。方法 (1) 在心肌组织中提取总 RNA, RT-PCR 法获取 cDNA, 合成特异性引物, 用 PCR 法获得 kir6.2、SUR2A 的 ORF 片段, 用 T4DNA 连接酶将上述片段与线性化的 pEGFP-C1 连接, 重组的 pEGFP-C1/kir6.2 用 PCR 法进行 E23K 定点突变, 获得真核表达质粒 pEGFP C1/kir6.2, pEGFP C1/kir6.2 (E23K) 及 pEGFP C1/SUR2A。 (2) 重组质粒采用脂质体法瞬时共转染 H9C2 细胞, 使其在 H9C2 细胞中表达。 (3) 生理盐水与 1mg/L 阿霉素 (Adriamycin, ADR) 分别处理转染后细胞, 分为 4 组: A 组为野生型重组质粒 + 生理盐水处理组 (WT + NS); B 组为含 E23K 突变重组质粒 + 生理盐水处理组 (E23K + NS); C 组为野生型重组质粒 + 阿霉素损伤组 (WT + ADR); D 组为含 E23K 突变重组质粒 + 阿霉素损伤组 (E23K + ADR)。 (4) 采用 TUNEL 法检测心肌细胞凋亡指数 (AI)。 (5) Western blot 法测定 caspase-3、Bcl-2、Bax 蛋白表达。 AlphaEase FC 软件取值读取各样品条带灰度值。结果 (1) TUNEL 结果示, 应用 ADR 后凋亡比例升高, 与 WT + ADR 组相比, E23K + ADR 组凋亡比例更高 ( $P < 0.05$ )。 (2) 阿霉素处理后, 所有组促凋亡相关蛋白 (caspase-3、Bax) 表达均增高, 抗凋亡蛋白 (Bcl-2) 表达降低, 且 E23K + ADR 组 caspase-3 与 Bax 蛋白表达均大于 WT + ADR 组, Bcl-2 蛋白表达低于 WT + ADR 组 ( $P < 0.05$ )。结论 K<sub>ATP</sub> 通道 kir6.2 亚基 E23K 突变加重阿霉素诱导的细胞凋亡。

**关键词** K<sub>ATP</sub> 通道 E23K 突变 细胞凋亡

中图分类号 R542.2

文献标识码 A

DOI 10.11969/j.issn.1673-548X.2018.02.008

**Effect of E23K Mutant of K<sub>ATP</sub> Channel on Apoptosis Induced by Adriamycin.** Liu Jianfang, Wang Menglong, Ye Jing, et al. Department of Cardiology, Renmin Hospital of Wuhan University; Cardiovascular Research Institute, Wuhan University; Hubei Key Laboratory of Cardiology, Hubei 430060, China

**Abstract Objective** To investigate the effect of E23K mutant on kir6.2 subunit of K<sub>ATP</sub> channel on myocardial cell apoptosis induced by Adriamycin. **Methods** (1) Total RNA was obtained in myocardial tissue and cDNA was obtained by RT-PCR method. Using specific primers to get ORF fragments of kir6.2, SUR2A by PCR method, using T4DNA ligase to connected the fragment with linearized pEGFP-C1, restructuring pEGFP-C1/kir6.2 (E23K) by point mutation fixed in the PCR method, then get the pEGFP-C1/kir6.2, pEGFP-C1/kir6.2 (E23K) and pEGFP-C1/SUR2A. (2) The plasmid transient transfected the H9C2 cells and expressed the target proteins. (3) Saline and 1mg/L adriamycin (ADR) add to the cells after transfection, divided into four groups. A: wild type and saline treatment group (WT + NS); B: E23K mutation and saline treatment group (E23K + NS); C: Wild type and Adriamycin treatment group (WT + ADR); D: E23K mutation and adriamycin treatment group (E23K + ADR). (4) TUNEL method to detect myocardial apoptosis index (AI). (5) The Western blot method to test caspase-3, Bcl-2, Bax protein expression. Alpha Ease FC software to read grey value. **Results** (1) TUNEL results showed that with an increase in apoptosis after application of ADR, compared with (WT + ADR) group, apoptosis rate of (E23K + ADR) group was higher. (2) After being treated with Adriamycin, the expression of caspase-3 and Bax proteins of all groups were increased, while the Bcl-2 was decreased, and in (E23K + ADR) group, the expression of caspase-3, Bax protein were increased than in (WT + ADR) group but Bcl-2 decreased ( $P < 0.05$ ). **Conclusion** E23K mutation aggravated the apoptosis of myocardial cell induced by Adriamycin.

**Key words** K<sub>ATP</sub> channel; E23K mutation; Apoptosis

基金项目:国家自然科学基金资助项目(81170208)

作者单位:430060 武汉大学人民医院心血管内科、武汉大学心血管病研究所、心血管病湖北省重点实验室(刘剑芳、王梦龙、叶晶、徐瑶、王震、姜慧敏、叶迪、万军);430081 武汉市普仁医院心内科(赵生娣)

通讯作者:万军,电子信箱:wanjun1963@126.com

ATP 敏感性钾通道 (K<sub>ATP</sub> 通道) 是在代谢旺盛的细胞中广泛分布的离子通道, 其中在心肌细胞表达水平非常高<sup>[1]</sup>。研究显示, K<sub>ATP</sub> 通道在心肌细胞的代谢、功能中起重要作用<sup>[2]</sup>。前期研究结果显示, 在扩张型心肌病 (dilated cardiomyopathy, DCM) 患者中

$K_{ATP}$  通道 E23K 突变比例增高, 具体机制不明<sup>[3]</sup>。本实验研究  $K_{ATP}$  通道 E23K 突变对阿霉素损伤心肌细胞凋亡的影响, 探讨  $K_{ATP}$  通道在扩张型心肌病致病相关因素影响下所起的作用, 为探讨扩张型心肌病发生、发展过程及临床干预提供依据。

### 材料及方法

1. 试剂: 构建质粒过程中所用 DNA 聚合酶、限制性内切酶 Hind III、XhoI 及 T4 DNA 连接酶均购自美国 Fermentas 公司。Lipofectamine 2000 购自美国 Invitrogen 公司。细胞凋亡原位检测试剂盒(Insitu Cell Death Detection, POD Kit) 购自美国 Roche(罗氏)公司。Bax 抗体、Bcl - 2 抗体购自美国 CST 公司, caspase - 3 抗体购自美国 ABclonal 公司。

2. 实验方法:(1) 重组质粒的构建: 用 Trizol 法从大鼠心肌组织中提取总 RNA, 取 RNA 做反转录模板进行反转录 PCR 反应获得相应的 kir6.2 及 SUR2A 亚基 cDNA, 将上述 cDNA 与相应的真核表达载体 pEGFP - C1 进行双酶切反应, 连接后构建真核表达载体 pEGFP - C1/kir6.2、pEGFP - C1/SUR2A。PCR 法对 pEGFP - C1/kir6.2 进行 E23K 位点定点突得到含 E23K 位点突变的 pEGFP - C1/Kir6.2 (E23K)。(2) 重组质粒在 H9C2 细胞中表达: H9C2 细胞采用含 10% 胎牛血清、100U/ml 青霉素、100U/ml 链霉素的 MEM 培养液, 置于 37℃、5% CO<sub>2</sub> 培养箱中培养。转染前将 H9C2 细胞按照  $5 \times 10^5$  个/孔的密度铺于六孔板中, 待细胞生长达 70% 融合度时吸出培养液, 用 PBS 清洗 2 次, 每次 10s, 加入 OPTI - MEMI 培养液 500μl, 将 10μgDNA 和 1ml OPTI - MEMI 混合, 10μl PLUS, 室温孵育 10min, 10μl LTX 和 500μl OPTI - MEMI 混合, 随后将两液混合, 室温静止 30min 后按照 1:5 的比例加入培养孔, 置于 37℃、5% CO<sub>2</sub> 培养箱中培养。5h 后更换为正常培养液, 37℃、5% CO<sub>2</sub> 培养箱继续培养 48h, 荧光显微镜下观察转染效率。(3) 阿霉素诱导细胞凋亡: 正常培养 H9C2 细胞或转染重组质粒 48 ~ 72h 的 H9C2 细胞, 更换含 1mg/L 阿霉素的培养基, 作用 4h 后更换为 10% 胎牛血清的 DMEM 培养基。建立心肌细胞损伤模型, 用于后续实验。(4) 实验分组: A 组: 野生型重组质粒 + 生理盐水处理组(WT + NS); B 组: 含 E23K 突变重组质粒 + 生理盐水处理组(E23K + NS); C 组: 野生型重组质粒 + 阿霉素损伤组(WT + ADR); D 组: 含 E23K 突变重组质粒 + 阿霉素损伤组(E23K + ADR)。(5) 细胞凋亡检测: 采用 TUNEL 法检测细胞凋亡。

参照试剂盒说明书操作。光镜下计算心肌细胞凋亡指数(apoptotic index, AI)。AI 计算方法: 细胞核中有棕黄色颗粒者为阳性细胞, 即凋亡细胞, 数 5 个高倍视野, 分别计算凋亡细胞数和总细胞数,  $AI(\%) = \text{凋亡细胞数} / \text{总细胞数} \times 100\%$ 。(6) 凋亡蛋白的检测: 收取细胞后提取蛋白, 采用 Western blot 法测定 caspase - 3、Bcl - 2、Bax 蛋白表达。AlphaEase FC 软件取值读取各样品条带灰度值。检测心肌细胞中凋亡相关蛋白 caspase - 3、Bcl - 2、Bax 蛋白的表达。

3. 统计学方法: 实验结果以均数 ± 标准差( $\bar{x} \pm s$ ) 表示, 数据用 SPSS 18.0 统计学软件、GraphPad 软件等对数据进行分析处理, 统计学比较应用 LSD - t 检验, 以  $P < 0.05$  为差异有统计学意义。

### 结 果

1. 采用 TUNEL 法检测心肌细胞凋亡指数(apoptotic index, AI): C、D 组凋亡比例高于 A、B 组, 差异有统计学意义( $P < 0.05$ ), 与 C 组比较, D 组凋亡比例更高, 差异有统计学意义( $P < 0.05$ , 表 1)。

表 1 心肌细胞凋亡指数

组别	n	AI (%)
A 组	6	11.63 ± 2.61
B 组	6	13.21 ± 2.43
C 组	6	23.67 ± 1.84 <sup>#</sup>
D 组	6	26.40 ± 2.27 <sup>△*</sup>

与 A 组比较, <sup>#</sup> $P < 0.05$ ; 与 B 组比较, <sup>\*</sup> $P < 0.05$ ; 与 C 组比较, <sup>△</sup> $P < 0.05$

2. 心肌细胞凋亡相关蛋白 caspase - 3、Bcl - 2、Bax 的表达:(1) 心肌细胞 caspase - 3 蛋白的表达: Western blot 法检测结果显示, C、D 组 caspase - 3 蛋白的表达分别高于 A、B 组, 差异有统计学意义( $P < 0.05$ ), 与 C 组相比, D 组 caspase - 3 蛋白的表达更高, 差异有统计学意义( $P < 0.05$ ), 见图 1。(2) 心肌细胞 Bcl - 2 蛋白的表达: Western blot 法检测结果显示, C、D 组 Bcl - 2 蛋白的表达分别低于 A、B 组, 差异有统计学意义( $P < 0.05$ ), 与 C 组比较, D 组 Bcl - 2 蛋白的表达更低, 差异有统计学意义( $P < 0.05$ , 图 2)。(3) 心肌细胞 Bax 蛋白的表达: Western blot 法检测结果显示, C、D 组 Bax 蛋白的表达分别低于 A、B 组, 差异有统计学意义( $P < 0.05$ ), 与 C 组比较, D 组 Bax 蛋白的表达更高, 差异有统计学意义( $P < 0.05$ ), 见图 3。

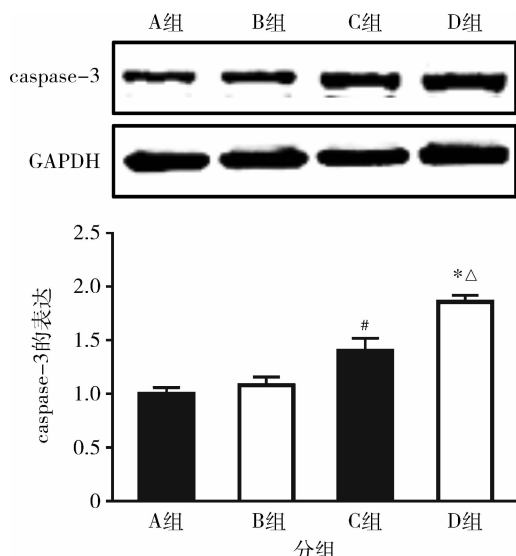


图 1 各组心肌细胞凋亡蛋白 caspase - 3 的表达  
与 A 组比较, <sup>#</sup> $P < 0.05$ ; 与 B 组比较, <sup>\*</sup> $P < 0.05$ ;  
与 C 组比较, <sup>△</sup> $P < 0.05$

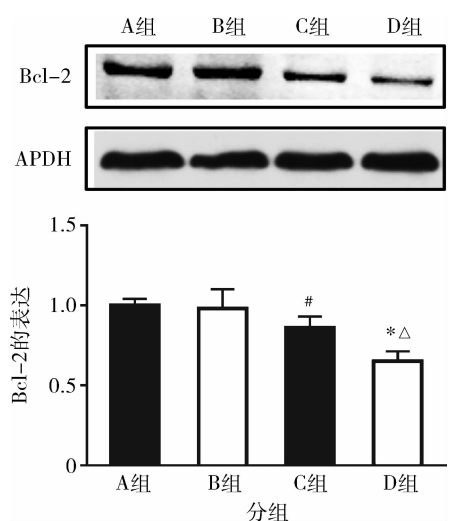


图 2 各组心肌细胞凋亡蛋白 Bcl - 2 的表达  
与 A 组比较, <sup>#</sup> $P < 0.05$ ; 与 B 组比较, <sup>\*</sup> $P < 0.05$ ;  
与 C 组比较, <sup>△</sup> $P < 0.05$

## 讨 论

$K_{ATP}$ 通道的结构是一个八聚体,由来源于 Kir6.1 或 Kir6.2 的 4 个亚单位组成离子进出通道的孔,由调节性的 SUR1 或 SUR2 提供另外 4 个亚单位,4 个亚单位围绕在 Kir6.1 或 Kir6.2 的周围<sup>[4, 5]</sup>。在正常生理状态下, $K_{ATP}$ 通道关闭,在使用钾通道开放剂(P-COs)或者缺血、缺氧、代谢抑制及酸中毒等异常生理状态时, $K_{ATP}$ 通道开放产生心肌保护作用<sup>[6~8]</sup>。E23K 多态性是指在部分人群中 $K_{ATP}$ 通道的 Kir6.2 亚基上

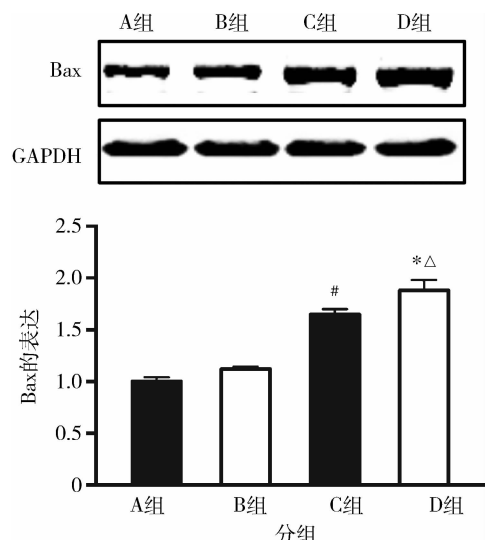


图 3 各组心肌细胞凋亡蛋白 Bax 的表达  
与 A 组比较, <sup>#</sup> $P < 0.05$ ; 与 B 组比较, <sup>\*</sup> $P < 0.05$ ;  
与 C 组比较, <sup>△</sup> $P < 0.05$

第 634 位碱基 G 替换为 A,其对应的氨基酸由原来的谷氨酸(E)替换成赖氨酸(K)。谷氨酸是带负电荷的酸性氨基酸,赖氨酸是带正电荷的碱性氨基酸,即由原来带负电荷的酸性氨基酸向带正电荷的碱性氨基酸转变。研究证实,在高血压人群中,E23K 多态性与左心室大小相关<sup>[9]</sup>。而在心力衰竭人群中 E23K 多态性的 KK 亚型比例高于正常人群<sup>[10]</sup>;与此同时,对中国的扩张型心肌病人群进行研究,发现 E23K 多态性不仅与扩张型心肌病患者左心腔体积及左心室射血分数相关,还与心律失常的发生相关<sup>[3]</sup>。说明 E23K 多态性在心脏疾病中起重要作用,然而,到目前为止,对其在心脏疾病中致病机制尚未完全阐明。

在心肌病、心律失常、冠心病等心脏病变中,均有细胞凋亡的发生。Kawano 等<sup>[11]</sup>对心肌炎患者心肌活检发现,急性心肌炎患者中未发现有凋亡细胞,而慢性心肌炎患者心肌中发现大量凋亡细胞,可以认为细胞凋亡是心肌受损、由炎症损伤演变为慢性心肌病变的一个病理生理过程。蒽环类药物如阿霉素对心脏具有损伤作用,是扩张型心肌病的病因之一。研究表明,接触微摩尔( $\mu\text{mol}$ )浓度级别的阿霉素的细胞,尤其是心肌细胞和内皮细胞,就会发生凋亡,且阿霉素对细胞的损害呈剂量累计效应<sup>[12]</sup>。本研究转染了不同重组质粒的 H9C2 细胞在阿霉素损伤后凋亡时发现,加入阿霉素后所有组的凋亡比例增高,且 E23K 组的细胞在损伤后凋亡比例更高,这与前人研究结果相符,说明这 E23K 与心血管疾病的这种相关性,也

许是通过细胞凋亡途径来实现的。

E23K 多态性由于改变了  $K_{ATP}$  通道的电荷特性, 这种改变引起了心肌细胞膜离子流改变, 在受到外界损伤时,  $K_{ATP}$  通道不能及时通过正常调控途径启闭而启动保护机制, 改变了膜电位的稳态, 最终引起细胞凋亡的发生。研究证实, E23K 多态性广泛存在于正常人群中, 是否 E23K 是一种疾病状态值得探讨<sup>[10]</sup>。而本研究发现, 在没有阿霉素损伤的情况下, E23K 突变与野生型的  $K_{ATP}$  通道过表达的心肌细胞在细胞凋亡蛋白的表达之间没有差异, 说明 E23K 本身没有致凋亡作用, 而是在受到损伤的条件下,  $K_{ATP}$  通道激活发挥作用时, E23K 多态性所导致的细胞易损伤作用才会表现出来。因此, 本研究认为, E23K 多态性并不直接影响细胞凋亡的发生, 而是在病理状态下增加了心肌细胞的易损性。

细胞凋亡是由基因调控的细胞程序性死亡途径, 多种蛋白参与其中<sup>[13]</sup>。其中与促进凋亡相关的蛋白包括 caspase 家族、P53, 抗凋亡蛋白主要有 Bcl-2 家族、survivin 等。这些蛋白家族分别参与了不同的细胞凋亡调控途径, 发挥不同的作用。不同药物或损伤引起凋亡的途径不尽相同, 具体的凋亡机制目前还无定论。目前无法明确阿霉素引起凋亡的具体途径和机制, 是否与扩张型心肌病的发生、发展过程所涉及的途径一致也未有定论。本研究发现 E23K 突变使阿霉素诱导的心肌细胞凋亡加重, 其具体的途径和机制还有待进一步深入研究。

综上所述,  $K_{ATP}$  通道 kir6.2 亚基 E23K 突变加重阿霉素诱导的细胞凋亡, E23K 突变可能是部分心肌损害发生、发展的易患因素, 使心脏在病理情况下更容易发生心肌细胞凋亡。为探讨阿霉素诱导心血管损伤相关疾病的发生、发展过程及临床干预提供了依据。

(上接第 27 页)

- 14 Guan H, Sun K, Yang K. The ERK1/2 signaling pathway regulates 11beta-hydroxysteroid dehydrogenase type 2 expression in human trophoblast cells through a transcriptional mechanism [J]. Biol Reprod, 2013, 89(4): 92
- 15 Zhu H, Zou C, Fan X, et al. Up-regulation of 11beta-hydroxysteroid dehydrogenase type 2 expression by hedgehog ligand contributes to the conversion of cortisol into cortisone [J]. Endocrinology, 2016, 157(9): 3529–3539
- 16 Luo L, Deng J, Wang DX, et al. Regulation of epithelial sodium channel expression by oestradiol and progesterone in alveolar epithelial cells [J]. Respir Physiol Neurobiol, 2015, 216: 52–62
- 17 Suzuki S, Tsubochi H, Ishibashi H, et al. Inflammatory mediators down-regulate 11beta-hydroxysteroid dehydrogenase type 2 in a human lung epithelial cell line BEAS-2B and the rat lung [J]. Tohoku J Exp Med, 2005, 207(4): 293–301
- 18 Suzuki S, Koyama K, Darnel A, et al. Dexamethasone upregulates 11beta-hydroxysteroid dehydrogenase type 2 in BEAS-2B cells [J]. Am J Respir Crit Care Med, 2003, 167(9): 1244–1249
- 19 Tsubochi H, Suzuki S, Kubo H, et al. Early changes in alveolar fluid clearance by nitric oxide after endotoxin instillation in rats [J]. Am J Respir Crit Care Med, 2003, 167(2): 205–210
- 20 Sai S, Nakagawa Y, Yamaguchi R, et al. Expression of 11beta-hydroxysteroid dehydrogenase 2 contributes to glucocorticoid resistance in lymphoblastic leukemia cells [J]. Leuk Res, 2011, 35(12): 1644–1648
- 21 Teshima T, Matsumoto H, Okusa T, et al. Effects of carbenoxolone on the canine pituitary–adrenal axis [J]. PLoS One, 2015, 10(8): e0135516

## 参考文献

- 1 Obata T, Nakashima M. Opening of ATP-sensitive  $K^+$  ( $K_{ATP}$ ) channels enhance hydroxyl radical generation induced by MPP+ in rat striatum [J]. J Neurol Sci, 2016, 366: 180–183
- 2 Olson TM, Terzie A. Human  $K$ (ATP) channelopathies: diseases of metabolic homeostasis [J]. Pflugers Arch, 2010, 460(2): 295–306
- 3 Xi HL, Liu JF, Li L, et al. Relationship between dilated cardiomyopathy and the E23K and I37V polymorphisms in the Kir6.2 subunit of the  $K_{ATP}$  channel [J]. Genet Mol Res, 2013, 12(4): 4383–4392
- 4 Lederer WJ, Nichols CG. Nucleotide modulation of the activity of rat heart ATP-sensitive  $K^+$  channels in isolated membrane patches [J]. J Physiol, 1989, 419: 193–211
- 5 Li N, Wu JX, Ding D, et al. Structure of a Pancreatic ATP-Sensitive Potassium Channel [J]. Cell, 2017, 168(1–2): 101–110
- 6 Budas GR, Jovanovic S, Crawford RM, et al. Hypoxia-induced preconditioning in adult stimulated cardiomyocytes is mediated by the opening and trafficking of sarcolemmal KATP channels [J]. FASEB J, 2004, 18(9): 1046–1048
- 7 Toib A, Zhang HX, Broekelmann TJ, et al. Cardiac specific ATP-sensitive  $K^+$  channel ( $K_{ATP}$ ) overexpression results in embryonic lethality [J]. J Mol Cell Cardiol, 2012, 53(3): 437–445
- 8 Olson TM, Alekseev AE, Moreau C, et al.  $K_{ATP}$  channel mutation confers risk for vein of Marshall adrenergic atrial fibrillation [J]. Nat Clin Pract Cardiovasc Med, 2007, 4(2): 110–116
- 9 Reyes S, Terzic A, Mahoney DW, et al.  $K$ (ATP) channel polymorphism is associated with left ventricular size in hypertensive individuals: a large-scale community-based study [J]. Hum Genet, 2008, 123(6): 665–667
- 10 Reyes S, Park S, Johnson BD, et al.  $K_{ATP}$  channel Kir6.2 E23K variant overrepresented in human heart failure is associated with impaired exercise stress response [J]. Hum Genet, 2009, 126(6): 779–789
- 11 Kawano H, Okada R, Kawano Y, et al. Apoptosis in acute and chronic myocarditis [J]. Jpn Heart J, 1994, 35(6): 745–750
- 12 金凯, 陈中军, 罗华荣. 盐酸阿霉素对大鼠心肌损伤的分子机制研究 [J]. 同济大学学报: 医学版, 2002, 22(3): 191–193
- 13 Toischer K, Rokita AG, Unsold B, et al. Differential cardiac remodeling in preload versus afterload [J]. Circulation, 2010, 122(10): 993–1003

(收稿日期: 2017-04-25)

(修回日期: 2017-05-31)

J Exp Med, 2005, 207(4): 293–301

- 14 Suzuki S, Koyama K, Darnel A, et al. Dexamethasone upregulates 11beta-hydroxysteroid dehydrogenase type 2 in BEAS-2B cells [J]. Am J Respir Crit Care Med, 2003, 167(9): 1244–1249
- 15 Tsubochi H, Suzuki S, Kubo H, et al. Early changes in alveolar fluid clearance by nitric oxide after endotoxin instillation in rats [J]. Am J Respir Crit Care Med, 2003, 167(2): 205–210
- 16 Sai S, Nakagawa Y, Yamaguchi R, et al. Expression of 11beta-hydroxysteroid dehydrogenase 2 contributes to glucocorticoid resistance in lymphoblastic leukemia cells [J]. Leuk Res, 2011, 35(12): 1644–1648
- 17 Teshima T, Matsumoto H, Okusa T, et al. Effects of carbenoxolone on the canine pituitary–adrenal axis [J]. PLoS One, 2015, 10(8): e0135516

(收稿日期: 2017-05-09)

(修回日期: 2017-05-27)